

## Розділ 8

# СУДОВА ВЕТЕРИНАРНА МЕДИЦИНА ТА ВЕТЕРИНАРНЕ ПРАВО

---

УДК 636.22/28.09:611.715:616-073.7:340.6

### **ВІКОВІ ТА СТАТЕВІ РЕНТГЕНОМОРФОДЕНСИТОМЕТРИЧНІ ОСОБЛИВОСТІ РОГОВОГО ВІДРОСТКУ ЛОБОВОЇ КІСТКИ ВЕЛИКОЇ РОГАТОЇ ХУДОБИ В АСПЕКТІ СУДОВО-ВЕТЕРИНАРНОЇ ЕКСПЕРТИЗИ**

Авер'янова Л.О., к.т.н., доцент

Харківський національний університет радіоелектроніки, м. Харків

Абузмайд Карем Р.С., аспірант

Яценко І.В., д.вет.н., професор

Харківська державна зооветеринарна академія, м. Харків

**Анотація.** Проведено дослідження рентгеноморфоденситометричних особливостей рогового відростку лобової кістки великої рогатої худоби для судово-ветеринарного визначення її віку та статі. Проаналізовано томографічні зображення черепа. Побудуваний денситометричний аналіз обраних комп'ютерно-томографічних зразків проводили в ділянці основи рогового відростка лобової кістки.

Запропонованій метод визначення розмірів кісткових структур черепа ВРХ надає більш обґрунтовані судово-ветеринарні критерії для визначення віку та статі тварин за кістковими решітками.

**Ключові слова:** судово-ветеринарна експертиза, велика рогата худоба, роговий відросток лобової кістки, спіральна комп'ютерна томографія, вік, статі.

**Актуальність проблеми.** Комплекс морфологічних сонак гарантують експерту можливість орієнтовано діагностувати належність тварини за її кістковими органами у широкому віковому діапазоні. Враховуючи принцип побудови алгоритму судово-експертних досліджень, експерт має будувати схему дослідження у напрямі від неруйнівних, найбільш простих у виконанні і малокоштовніших методів до руйнівних, більш складних у технічному і технологічному відношенні. Серед комплексу методів визначення структурних параметрів основне і першочергове значення мають остеоскопічний і рентгенологічний методики дослідження [1].

Методом, який дозволяє кількісно оцінити ступінь поглинання рентгенівського випромінювання кісткою в залежності від її морфологічних, фізичних і хімічних параметрів, є рентгенівська денситометрія [2].

Основою цього метода є рентгенограмометрія, яка дає можливість визначити певні кількісні ознаки органа і дозволяє визначити ступінь тих чи інших змін, в т.ч. вікових. Остеорентгеноморфометрія дає можливість визначити взаємне розташування та розміри кісток, оцінити параметри структурних елементів кісткової тканини, їх динаміку.

Новітній підхідом до кількісної оцінки стану біологічних об'єктів, зокрема кісток, є його комплексний оптико-геометричний опис. При цьому одночасно аналізується оптична щільність (показник концентрації речовини на одиницю площини або загальної кількості речовини) та параметри об'єкта (площа, периметр, межі, діаметр). Це дозволяє поєднати переваги денситометрії та морфометрії в практиці судово-ветеринарної експертизи.

Пряма денситометрія прямо пов'язана з щільністю та товщиною кістки або шару тканини, адже в її основі лежить аналіз зареєстрованого детектором променевого рельєфу. Непряма

данситометрія заснована на визначені оптичної щільноті плівкового рентген знімку із порівняння зображення еталонного об'єкту відомої щільноти та товщини, шляхом побудови та аналізу кривих розподілу оптичної щільноті у вигляді данситограм [3]. Для цього використовуються сканери у комплексі з програмними засобами для вимірювання яскравості комп'ютерного рентгенізму [4-6]. Вони дозволяють отримати повномасштабне цифрове рентген-зображення, оперативно провести детальний фотометричний аналіз будь-якої його ділянки. Проте результат комп'ютерного аналізу такого зображення буде залежним від параметрів плівки та сканера. Отже, бажано застосовувати відразу цифрові рентгенограми.

Нині особливий інтерес являє дослідження та адаптація можливостей сучасних методів медичної візуалізації до зважання визначення віку і статі великої рогатої худоби за морфологічними особливостями її кісткових решток. Деякі судово-ветеринарні критерії раніше були визначені шляхом рентгенографії кісток [12], проте практично немає досвіду застосування рентгенівської комп'ютерної томографії (КТ) у судово-ветеринарній експертізі.

Відоме подібне застосування кількісного аналізу профілів КТ-чисел для оцінки кісткових структур черепа людини та інших кісток з діагностичною метою [7-8]. Дані про КТ-данситометрію кісток ВРХ відсутні [9].

У зв'язку з цим тема роботи є актуальну.

Задання дослідження – встановити рентгеноморфоданситометричні особливості рогового відростку лобової кістки великої рогатої худоби для судово-ветеринарного визначення її віку і статі.

Матеріал і методи дослідження. Досліджували носомозковий відрід черепа від 33 голів самиців та 33 голів самок ВРХ української чевронарбової породи віком від новонароджених до 10 років. Загальна кількість досліджуваних кісткового матеріалу складала 66 черепів. Всю вибіркову сукупність було розділено на 11 вікових груп для самок і самиць.

В роботі досліджували КТ-зображення черепів ВРХ. Черепи ВРХ сканували за допомогою рентгенівського спірального комп'ютерного томографа Siemens Somatom Emotion. Параметри експозиції: анодна напруга – 130 кВ, струм трубки – 30 мА, час – 1,5+7,5 с. Матриця реконструкції 512×512 пікселів, товщина зірви – 3 мм. Черепи укладали на деку томографа вздовж центральної вісі. Результати сканування відображалися у програмі EFilmLite 3.1 (Merge Healthcare) робочої станції томографа. В ній були використані опції зберігання обrazів для подальшого аналізу зображення у графічному форматі \*.bmp, а також засоби зміни масштабу, вибору діапазону яскравості (КТ-відм.), інтерактивного вимірювання розмірів та маркування зірви.

Загальним методом подальшого дослідження є Single-Slice OCT (однозрізова кількісна КТ) [10].

Для визначення морфометричних параметрів рогового відростку лобової кістки попередньо обирали певний КТ-зріз носомозкового відростку черепа, який за положенням маркувальної лінії на КТ-тографії відповідав рівно середині основи рогового відростка лобової кістки (рис. 1). Кожний обраний КТ-зріз зберігали у діапазоні чисел Хаунінгфіда для кісткової тканини (кісткове вікно, ширина вікна W=2000 HU, середина вікна L=480 HU). За цієї умови на зірvi найкраще вирізняються кісткові структури.

Візуальне визначення точок відліку розмірів на комп'ютерному зображення та їх маркування вручну є досить неточними через обмежену контрастну чутливість зорового аналізатора людини. Отже, необхідно застосовувати додатковий метод аналізу КТ-зображення, який дає би можливість об'єктивно визначити розміри морфологічних структур. Побудова профілю яскравості (КТ-данситограм) дає можливість вимірювати розміри кістки з урахуванням її менш щільних, а, отже, малоконтрастних шарів (ендостальна поверхня).

Для визначення КТ-данситометричних показників (КТДП) данситограмми будували в ділянці основи рогового відростка лобової кістки (рис. 2).

Подальший аналіз образів КТ-зрізів проводився у програмі X-Rays V.3 [11-12]. Для цього обраний КТ-зріз отримувався з програми EFilmLite 3.1 шляхом збереження у графічному форматі \*.bmp.

Визначення зовнішнього  $D$  та внутрішнього  $d$  діаметрів рогового відростку лобової кістки проводили шляхом аналізу данситограм КТ-зрізу черепа ВРХ у перерізі рогового відростку, де він являє собою концентричну кільцеву структуру. Визначали величини діаметрів у пікселях, а також кортиkalний індекс, який застосовується для оцінки стану трубчастих кісток. Для визначення метричних розмірів було враховано змінну величину поля реконструкції КТ-зрізу (FOV).

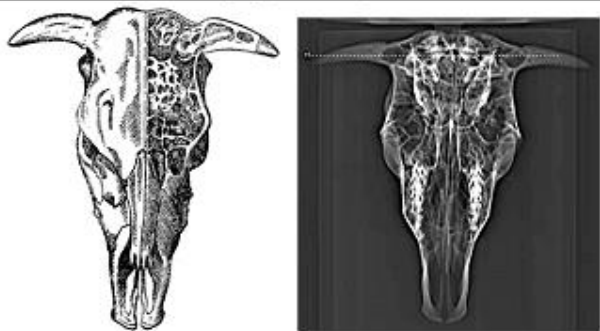


Рис. 1. Череп корови та його рентгенівська КТ-топограма

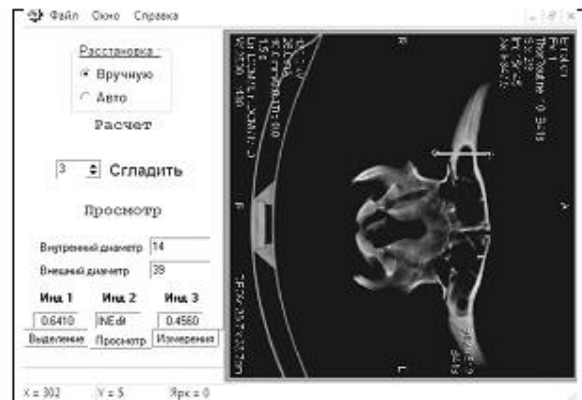


Рис. 2. Робоче вікно програми X-Rays V.3 з аксіальним КТ-эрізом

**Результати дослідження.** На першому етапі дослідження було проведено математичне моделювання КТ-денситограми рогового відростку лобової кістки, яке базувалось на фізико-математичному аналізі процесу взаємодії досліджуваної кістки з рентгенівським випромінюванням у процесі КТ-сканування. Для цього використовували математичну модель КТ-эрізу рогового відростку лобової кістки (основи рогу), який має конічну форму.

Переріз рогового відростку лобової кістки на рівні основи являє собою тонке кільце пористої кісткової тканини (рис. 3.), товщина стінки якого становить  $(D-d)/2$ .

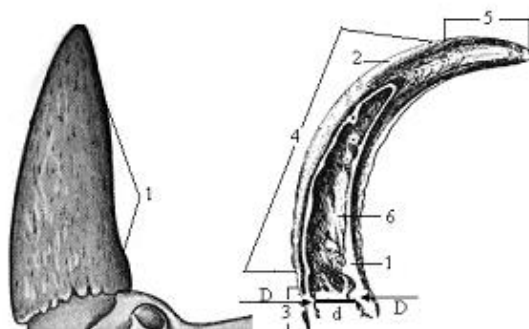


Рис. 3. Ріг великої рогатої худоби:  
1 – роговий відросток лобової кістки; 2 – рогова капсула; 3 – корінь рога; 2 – тіло рога; 5 – верхівка рога, 6 – лобова пазуха; D – зовнішній діаметр; d – внутрішній діаметр.

Товщина аксіального КТ-різу під час сканування складала  $\Delta=3$  мм. Розподіл яскравості зображення вздовж лінії D (рис. 3, 4а) являє собою функцію зміни коефіцієнта ослаблення рентгенівського випромінювання  $\mu$  тонким шаром кісткової тканини  $\Delta$  у поперечному перерізі рогового відростку лобової кістки (рис. 4 б, в).

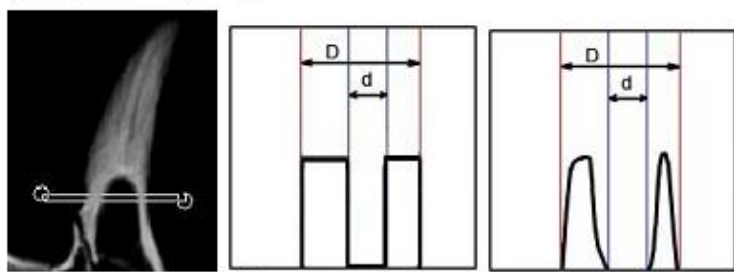


Рис. 4. КТ-денситограми перерізу рогового відростку:  
а – вибр зони інтересу; б – ідеальна КТ-денситограма; в – реальна КТ-денситограма

Взаємодія рентгенівського випромінювання з кістковою структурою описується законом Бугера-Ламберта-Бера:

$$I = I_0 e^{-\mu A} \quad (1)$$

де  $I$  – інтенсивність випромінювання, яке пройшло крізь речовину;  $I_0$  – початкова інтенсивність випромінювання;  $\mu$  – лінійний коефіцієнт ослаблення випромінювання;  $A$  – товщина шару опроміненої речовини.

У КТ кількість поглиненого рентгенівського випромінювання вимірюється у числах Хаунсфілда (Hounsfield units, HU). Шкала Хаунсфілда представляє собою величину ослаблення відносно води (в числах Хаунсфілда):

$$HU = 1000 \times \frac{\mu - \mu_{water}}{\mu_{water} - \mu_{air}}, \quad (2)$$

де  $\mu$  – коефіцієнт ослаблення енергії рентгенівського випромінювання для досліджуваного матеріалу;  $\mu_{water}$  – коефіцієнт ослаблення у воді;  $\mu_{air}$  – коефіцієнт ослаблення у повітрі для енергії рентгенівського випромінювання, яке використовується в КТ-сканерах.

Діапазони HU для кісток людини наведені в табл. 1.

Таблиця 1

## Класифікація щільності кісткової тканини за значеннями HU

Тип кістки	Значення HU	Пояснення
D <sub>1</sub>	>1250 HU	Гомогенна компактна кістка
D <sub>2</sub>	850-1250 HU	Товстий шар кортикалальної кістки, який оточує трабекулярну кістку
D <sub>3</sub>	350-850 HU	Тонкий шар кортикалальної кістки, який оточує трабекулярну кістку достатньої щільності
D <sub>4</sub>	150-300 HU	Тонкий шар кортикалальної кістки, який оточує трабекулярну кістку пониженої щільності
D <sub>5</sub>	<150 HU	Дуже «кім'яка» кістка із незавершеною мінералізацією

Користуючись цими даними, можна безпосередньо за КТ-зразами визначити числа Хаунсфілда у зоні інтересу як показник щільності рогового відростку лобової кістки.

Щодо визначення морфометричних розмірів рогового відростку лобової кістки та КТ-кортикалічного індексу – KTKI=(D-d)/D, необхідно відзначити, що для визначення зовнішнього та внутрішнього діаметрів рогового відростку лобової кістки за КТ (рис. 5) спостерігалися певні індивідуальні відхилення розмірів, проте КТ-кортикалічний індекс KTKI чітко відображає тенденцію вікових структурних змін (рис. 6).

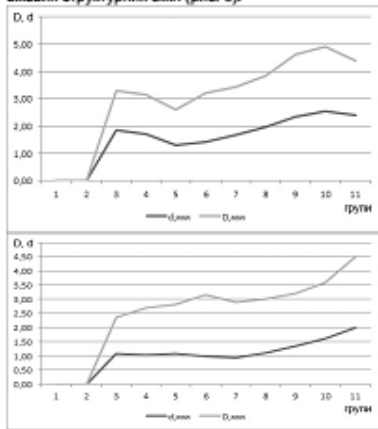


Рис. 5. Діаграми вікової зміни розмірів Dta d в досліджуваній групі:  
а – бики; б – корови

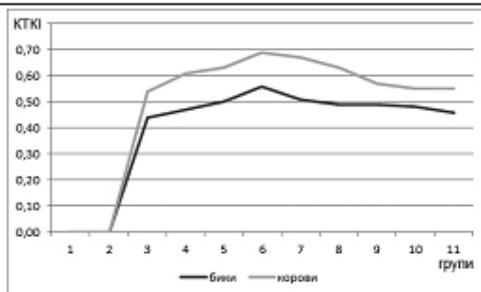


Рис. 6. Діаграма вікової зміни КТКІ в досліджуваній групі ВРХ

За обома розмірами рогові відростки лобової кістки биків більші, проте індекс скрізь більший у корів, тобто товщина стінки рогу у корів більша.

#### Висновки

- Для визначення зовнішнього та внутрішнього діаметрів рогового відростку лобової кістки за комп'ютерними томограмами спостерігається індивідуальна варіабельність розмірів, проте КТ-кортикалічний індекс (КТКІ) чітко відображає тенденцію вікових структурних змін.
- Запропоновані метод визначення розмірів кісткових структур черепа ВРХ надає більш обгрунутовані судово-ветеринарні критерії для визначення віку та статі тварин за кістковими рештками.

#### Література

- Кам'янський В.В. Морфологічні параметри кісток п'ястка та пальців кисті при визначені віку великої рогатої худоби у судовій ветеринарній медицині / В.В. Кам'янський, І.В. Яценко // Проблеми зоінженерії та ветеринарної медицини : 36. наук. праць Харківської державної зооветеринарної академії. – Х. : РВВ ХДЗВА, 2011. – Вип. 23, ч. 2, т. 2. – С. 536-549.
- Gupta S.K. Biometry of bovine skull. Indian / S.K. Gupta, D.N. Sharma // J. Anim. Res. – 1990. – № 24. – Р. 110.
- Аверьянова Л. А. Анализ рентгенограммы метакарпальной кости кисти в диагностике остеопороза / Л.А. Аверьянова, А.И. Бых, В.М. Головенко, С.А. Криццов, О.В. Скляр, О.И. Скляр, Е.П. Шармазанова / Итоги работы университета за 1998-1999 годы и перспективы на 2000 год // Сб. трудов. – Харьков, 2000. – С. 157-160.
- Аверьянова Л. А. Компьютерная обработка рентгенограмм в диагностике остеопороза / Аверьянова Л. А., Криццов С. А., Скляр О. В., Скляр О. И., Головенко В. М. / 5-я Международ. конф. «Теория и техника передачи, приема и обработки информации» («Новые информационные технологии») : Сб. научных трудов. – Харьков : ХТУРЗ, 1999. – С. 213-214.
- Endoe H. Osteometric and CT Examination of the Japanese Wolf skull / H. Endoe, I. Obara, T. Yoshida, M. Kurohmaru, Y. Hayashi // J. vet. med. sci. – 1997. – № 59 (7). – Р. 531-538.
- Bartosiewicz L. Skull formation in long horned cattle the Hungarian Grey / L. Bartosiewicz // Archaeozoological studies in honour of Alfredo Riedel. – 2005. – Р. 303-312.
- Xing Gong Application of a 3D volumetric display for radiation therapy treatment planning I: quality assurance procedures / Xing Gong, Mike Kirk, Tom Zusag et al. // Journal of Applied Clinical Medical Physics. – 2009. – Vol. 10, № 3. <http://dx.doi.org/10.1120/jacmp.v10i3.2900>.
- Prossinger H. Electronic removal of encrustations inside the Steinheim cranium reveals paranasal sinus features and deformations, and provides a revised endocranial volume estimate / H. Prossinger, S. Horst et al. // The Anatomical Record (Part B: New Anat.) 273(B):132-142, 2003. DOI: 10.1002/ar.b.10022.
- Sykes N. Sexing cattle horn-cores: problems and progress / N. Sykes, R. Symmons // International Journal of Osteoarchaeology. – 2007. – Vol. 17. № 5. – Р. 514-523.
- Engelkirk J. E. Clinical Use of Quantitative Computed Tomography and Peripheral Quantitative Computed Tomography in the Management of Osteoporosis in Adults: The 2007 ISCD Official

## *Проблеми зооінженерії та ветеринарної медицини*

- Positions / K. Engelke, J. E. Adams, G. Armbrecht et al. // Journal of Clinical Densitometry: Assessment of Skeletal Health. – 2008. – Vol. 11, № 1. – Р. 123-162.
11. Яценко І.В. Рентгенівська морфоденситометрія при дослідженні вікових особливостей кісток кінцівок великої рогатої худоби / І.В. Яценко, М.М. Бондаревський, В.В. Кам'янський, Л.О. Авер'янова // Матеріали 4-го Міжз. радіоелектрон. форуму «Прикладна радіоелектроніка. Состояние и перспективы развития» // Сб. науч. пр., Т. III, конф. «Актуальные проблемы биомедінженерії», Харків: АНПРЗ, ХНУРЗ, 18-21 окт. 2011. – С. 28-29.
12. Бондаревський М.М. Морфологічні особливості кісток пlessis і пальців тазової кінцівки як критерій визначення віку великої рогатої худоби молочного напряму продуктивності. 16.00.02 – патологія, онкологія і морфологія тварин: автореф. дис. ... канд. вет. наук / М. М. Бондаревський. – Харків : ХДЗВА, 2012. – 23 с.

ВОЗРАСТНЫЕ И ПОЛОВЫЕ РЕНТГЕНОМОРФДЕНСИТОМЕТРИЧЕСКИЕ ОСОБЕННОСТИ РОГОВОГО ОТРОСТКА ЛОБНОЙ КОСТИ КРУПНОГО РОГАТОГО СКОТА В АСПЕКТЕ СУДЕБНО-ВЕТЕРИНАРНОЙ ЭКСПЕРТИЗЫ

Аверьянова Л.А., к.т.н., доцент

Харьковский национальный университет радиоэлектроники, г. Харьков

Абузнейд Каим Р.С., аспирант

Яценко И.В., д.вет.н., профессор

Харьковская государственная зооветеринарная академия, г. Харьков

**Аннотация.** Проведено исследование рентгенооморфденситометрических особенностей рогового отростка лобной кости крупного рогатого скота для судебно-ветеринарного определения его возраста и пола. Проанализировано томографическое изображение черепов. Дальнейший анализ выбранных компьютерно-томографических срезов проводили в программе X-Rays V. 3. Денситограммы строили в участке основания рогового отростка лобной кости. Предложенный метод определения размеров костных структур черепа КРС представляет более обоснованные судебно-ветеринарные критерии для определения возраста и пола животных по костным остаткам.

**Ключевые слова:** судебно-ветеринарная экспертиза, крупный рогатый скот, роговой отросток лобной кости, спиральная компьютерная томография, возраст, пол.

AGE AND SEX READ X-RAYS TO MEASURE DENSITY FEATURES OUTGROWTH HORN CATTLE BONES IN THE FRONT ASPECT THE FORENSIC VETERINARY EXAMINATION.

Averyanova L.A, Ph.D., Associate Professor

Kharkiv National University of Radio Electronics, Kharkiv.

Abuzneid Karem P.C., post-graduate student

Scientific supervisor –Yatsenko I.V., doctor of veterinary science, professor

Kharkiv State Zooveterinary Academy, Kharkiv

**Summary.** The conducted by mathematical modeling CT density program Annex horns frontal bone, which is based on the investigation of bone physical mathematical analysis of the interaction between the X-ray radiation during CT scans. For this purpose, the mathematical model CT Appendix horns slice frontal bone (the Horn of rules) that has a conical shape.

Cutting horns bone extension in front of me on an equal footing is the thin Seal of bone porosity, the wall thickness (D-d) / 2.

The thickness of the slice axial CT scan when  $\Delta = 3$  mm. Brightness distribution along the line D is a function of changes in the X-ray attenuation of coefficient micron thin layer of  $\Delta$  bones in the cross-section of the layer Front Attachment bones.

Interaction X-ray and bone described by Beer-Lambert law:

$$I = I_0 e^{-\mu A}$$

where  $I$  - the intensity of the radiation that has passed through the bone;  $I_0$  - intensity of the primary radiation;  $\mu$  - linear attenuation of radiation.  $A$  - the thickness of bone.

CT X-ray absorption is measured by Hounsfield units (HU):

$$HU = 1000 \times \frac{\mu - \mu_{water}}{\mu_{water} - \mu_{air}},$$

where  $\mu$  - x-ray attenuation of the tested tissue (bone);  $\mu_{water}$  - attenuation of the water;  $\mu_{air}$  - attenuation of the air.

Using this data directly on CT slices to determine the Hounsfield units in the area of interest as a measure of the intensity of an extension layer frontal bones.

To determine the morphological layer size extension Front cortical bone The index should be noted that CTCI to determine the internal and external diameters of the layer footer.

Note the frontal bone CT some deviations individual sizes, but the crust CTCI direction indicator clearly reflects the age structure changes.

To the size of two bulls horns larger frontal bone, but everywhere the index high in cows that wall thickness greater cows horn.

The proposed method to determine the size of the skeletons of cattle skull provides veterinary standards forensic intact to determine the age and sex of the animals are still bones.

Key words: forensic veterinary examination, cattle, horny outgrowth of the frontal bone, spiral computed tomography, age, sex.

УДК636.8:619.98.578.830:66

## АНАЛІЗ СЕКЦІЙНОГО ВИПАДКУ ВОГНЕПАЛЬНОГО ПОРАНЕННЯ ТВАРИН

Скрипка М.В. д.вет. н., професор

Полтавська державна аграрна академія, м. Полтава, Україна

Чепелинська Л.В. к.вет.н., доцент

Одеська дослідна станція ННЦ «ЛЕКВМ», м. Одеса, Україна

Коліч Н.Б. к.вет.н., доцент

Національний університет біоресурсів і природокористування України, м. Київ, Україна

**Анотації.** Характер вогнепального каналу залежить від особливостей будови органів і тканин. Первінний ранючий канал заповнений кров'ю, обривками відторгнутих, розтрощених, мертвих тканин; зона комп'юту зхарактеризується нирозом, масивними кровоносними, потовщеннями, деформацією та фрагментацією м'язових волокон; зона струсу – хаотичним розташуванням та втратою форми м'язових волокон, відсутністю їх посмугованості. У птахів за вогнепальними пораненням спостерігаються чисельні пошкодження майже всіх органів, вогнепальний чисельні переломи у птахах приводять до більшої травматизації м'яких тканин.

**Ключові слова:** вогнепальні поранення, патологічноанатомічний, стілоповічний, трахея, лечінка, кровошипін, кровотеча, фрагментація, дріб, мультитравма.

**Актуальність проблеми.** В даний час, в умовах глибокої економічної та соціальної кризи, значно підвищилася кількість випадків використання вогнепальної зброї та боєприпасів з метою завдання школи здоров'ю (вбивство). Вище зазначене вимагає поглиблених знань від судово-ветеринарних експертів у цій галузі ветеринарної медицини, необхідних у ході проведення досліджень [12].

Як показує практика, все більше і більше випадків вогнепальних поранень зустрічають у тварин (за виключенням мисливства) – це і випадки жорстокого поводження з тваринами, браконієрство, випадки необережного поводження із зброєю. Вогнепальний ушкодження практично будь-якої локалізації здатні привести до смертельних наслідків. Застосування багатозарядньої автоматичної зброї нерідко приводить до загибелі тварин в короткий проміжок часу. Все це створює безсумнівну небезпеку, пов'язану із застосуванням ручної вогнепальної зброї, і є яскравим прикладом негуманного ставлення до тварин [12].

Вогнепальна рана (лат. *vulnus sciopeletarium*) – результат впливу вражаючих факторів вогнепальної зброї (осколки, картеч, шрапнель, кулі, дріб). Вона суттєво відрізняється від усіх інших видів поранень за структурою, характером місцевих і загальних патологічних змін [1].

У місці проникнення кулі в тіло тварини на шкірі утворюється вхідна вогнепальна рана (отвір). Не заважи вогнепальна рана має характерні ознаки, іноді вона може бути скожа на рвано-забиту, колоту рану, або на садину і синець.